

**硬 X 線光電子分光法を用いた
窒化物半導体／金属界面の電子状態評価 III
Evaluation for electronic states
at the interface between nitride semiconductor and metals
by using hard x-ray photoelectron spectroscopy III**

宮嶋孝夫^a、細井 慎^a、新井龍志^a、越谷直樹^a、工藤喜弘^a、池永英司^b
Takao Miyajima^a, Shizuka Hosoi^a, Ryuji Arai^a, Naoki Koshitani^a, Yoshihiro Kudo^a and Eiji Ikenaga^b

^a ソニー（株）先端マテリアル研究所、^b高輝度光科学研究センター

^a Advanced Materials Laboratories, Sony Corporation, ^b Japan Synchrotron Research Institute

n型GaN基板の低欠陥密度領域（貫通転位密度が 10^6cm^{-2} 以下）にX線マイクロビームを局的に照射することで、低欠陥密度領域におけるn型GaNとTi金属が形成するショットキー障壁高さを見積ることに成功した。そのショットキー障壁高さは、貫通転位密度が 10^8cm^{-2} 程度であるサファイア基板上のn型GaN上のTi金属の場合より大きくなつた。これは、貫通転位密度の低減の効果と考えられる。

We succeeded in estimating a Schottky barrier hight for Ti/n-type GaN substrate in a low defect-density ($<10^6\text{cm}^{-2}$) region by selectively irradiating an x-ray micro-beam on the region. The obtained value is higher than that for Ti/n-GaN grown on a sapphire with a high defect density ($>10^8\text{cm}^{-2}$). It is thought that this is caused by the reduction of the defect density in GaN.

背景と目的：近年、GaN系半導体を用いた青色半導体レーザや青色及び緑色LEDが実用化されたが、さらなる高出力化、高輝度化、発光波長の短波長化、長波長化などを目指して、活発な研究開発が行われている[1, 2]。これらのデバイスの高機能化を行う場合、金属/GaN, Ga_xIn_{1-x}N/GaN, Al_xGa_{1-x}N/GaN等の界面制御が非常に重要になる。界面の電子状態を評価する有力手段として光電子分光法があるが、表面敏感な測定手法であるために、表面より5nm以上深いところにある界面を評価することは難しくなる。これに対して、SPring-8での光電子分光法では、表面から10nm程度のバルク情報を得ることができることから、実際のデバイスに用いるような界面でも評価することが可能である。なぜならば、高エネルギー高輝度のX線源を用いることで、光電子の運動エネルギーを高め、脱出深さを深くできるからである。すでに我々は、p型及びn型GaN上に様々な金属を蒸着した試料を測定することで様々金属に関するショットキー障壁高さを求め、その有効性を確認してきた。

ただし、実際のデバイスにおけるオーミック電極/GaN界面の評価を行うためには、数十ミクロン程度の空間分解能を有する局所領域の測定が必要となる。なぜならば、GaN基板には貫通転位密度が 10^6cm^{-2} 以下の低欠陥密度領域と高欠陥密度領域が周期的に混在しているからである。この問題に対しても、SPring-8のX線が解決法を与えることができる。すなわち、高輝度のX線から数十ミクロン角のマイクロビームを作り出すことが可能であり、これを試料に照射することで、局所領域の光電子分光測定が可能になる。ここでは、実際のデバイスに使われるGaN基板上の金属のショットキー障壁高さを求める試みを試みた。

本研究の目的は、ナノメータ領域の窒化物半導体／金属界面を詳しく解析することで、電極のコンタクト抵抗を決定する要因を考察し、GaN系発光デバイスの更なる高効率化を促進しようというものである。

実験方法：測定試料としては、n型GaN基板を用意し、その上にTi金属を厚さ10nm蒸

着した。硬X線を用いた光電子分光測定は、SPring-8のビームラインであるBL47XUにおいて行った。図1に実験のレイアウトを示した。SPring-8の挿入光源からの準白色放射光X線をSi(111)単結晶でE=6keVのエネルギーに单色化。さらに、Si(333)単結晶によりエネルギー幅を250meVに狭めた後、鉛直及び水平集光ダブルミラーにより2次元集光したX線を試料に照射。試料位置でのX線ビームサイズは $34 \times 38\mu\text{m}^2$ 。これにより、試料から放出される光電子のエネルギーを、Gammascan Scienta製のR-4000光電子分光器で測定した。測定は、すべて室温で行われた。

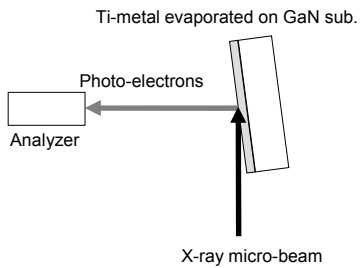


Fig.1 Schematic diagram of sample assembly

実験結果と考察： Ti/n型GaN基板のショットキー障壁高さ ϕ は、n型GaN上のTi金属の試料からのTi金属のFermi準位とGa 3sの内殻準位からの光電子の運動エネルギー($E_F(\text{Ti})$ と $E_{3s}(\text{Ga})$)、金属蒸着をしていないn型GaN基板からの価電子帯端およびGa 3sの内殻準位からの光電子の運動エネルギー($E_V(\text{GaN})$ と $E_{3s'}(\text{Ga})$)から、次のような式で求められる。

$$\phi = E_g - [E_F(\text{Ti}) - E_{3s}(\text{Ga})] - (E_V(\text{GaN}) - E_{3s'}(\text{Ga}))$$

図2に示すように、n型GaN基板の低欠陥密度領域(貫通転位密度 $< 10^6 \text{ cm}^{-2}$)にX線を照射することによって得られたTi/n型GaN基板のショットキー障壁高さを、前回の実験で得られたサファイア基板上n型GaN(貫通転位密度 $> 10^8 \text{ cm}^{-2}$)上の各金属から得られたショットキー障壁高さと金属の仕事関数との関係のグラフ上にプロットした。今回得られた低欠陥密度領域のTi/n型GaN基板のショットキー障壁高さは前回の値に比べ170meV高くなっている。この値の変化は、貫通転位密度が低減することによって起きているもの

であり、貫通転位がフェルミ準位のピニングとなり、貫通転位の近傍が電子のリークパスになっている可能性を示している。

本実験の光電子は界面のみならずバルクからも検出されている。その影響でショットキー障壁高さが本来の値より小さくなり、一部の金属の値が負になっているが、定性的な議論は可能であると考える。

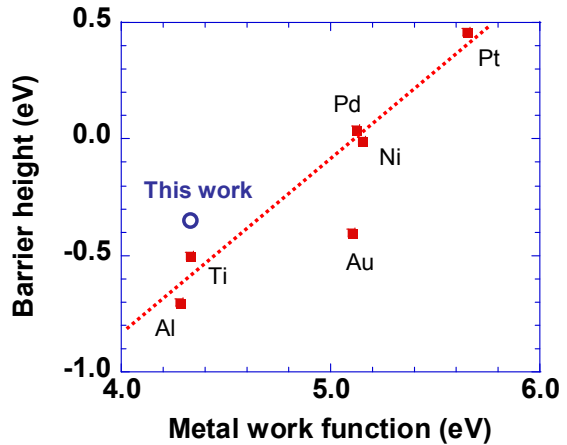


Fig.2 The obtained schottky barrier heights are shown as a function of the work function of the metal.

結論： X線マイクロビームを入射させることで、貫通転位密度を 10^6 cm^{-2} に低減したGaN上のTiショットキー障壁高さを見積ることに成功した。得られた値は、貫通転位密度が 10^8 cm^{-2} 以上の場合であるGaN上のTiの値に対して、170meV大きな値であることが分かった。このことは、貫通転位がフェルミ準位のピニング源となり、その低減がショットキー障壁高さの上昇につながると考えられる。

今後の課題： 本課題によって、SPring-8の硬X線光電子分光測定法が、実際のデバイスに使われている金属/GaN界面の電子状態の解析に非常に有効であることが分かった。今後、GaNと金属接合界面を包括的に考察し、GaN系発光デバイス及び電子デバイスの特性向上に寄与する。

参考文献

- [1] M. Ohta, Y. Ohizumi, Y. Hoshina, T. Tanaka, Y. Yabuki, K. Funato, S. Tomiya, S. Goto and M. Ikeda, phys. stat. sol. (a) **204**, 2068 (2007).
- [2] Y. Narukawa, M. Sano, M. Ichikawa, S. Minato, T. Sakamoto, T. Yamada and T. Mukai, Jpn. J. Appl. Phys. **40**, L963 (2007).